

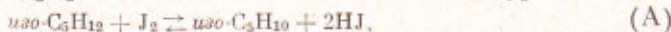
С. В. АДЕЛЬСОН, Г. М. АДЕЛЬСОН-ВЕЛЬСКИЙ, В. И. ВЕДЕНЕЕВ,
И. Г. КАЦНЭЛЬСОН, В. И. НИКОНОВ

**ИССЛЕДОВАНИЕ МЕХАНИЗМА ДЕГИДРИРОВАНИЯ ИЗОПЕНТАНА
иодом в присутствии кислорода**

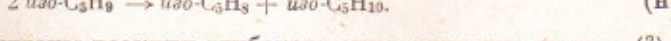
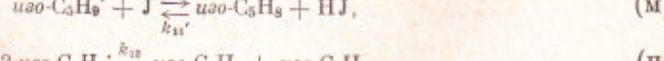
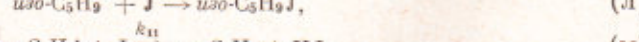
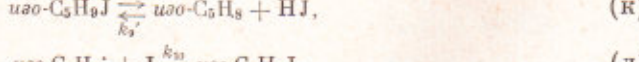
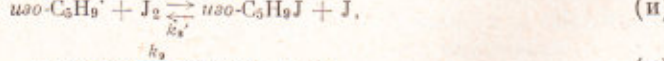
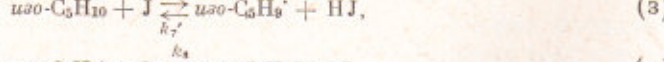
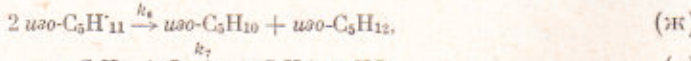
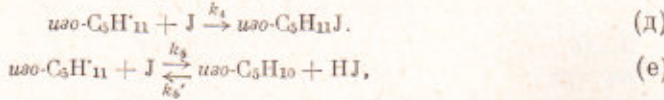
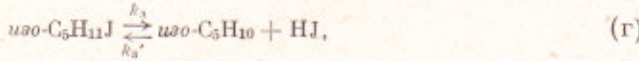
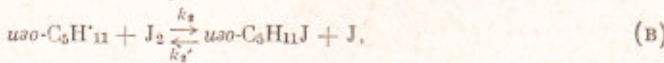
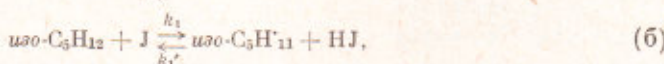
(Представлено академиком В. И. Кондратьевым 16 IX 1969)

Механизм и кинетика окислительного дегидрирования углеводородов иодом рассматривался рядом авторов (1-4). Наиболее полно этот механизм рассмотрен У. Бенсоном. Однако в работах (1, 2) не рассмотрены реакции, протекающие при высоких температурах, а также в присутствии кислорода. Мы проверили применимость механизма Бенсона для дегидрирования изопентана иодом в присутствии кислорода при температуре 500° С. Применимость оценивалась по степени совпадения экспериментальных данных (5) с расчетами, полученными на машине БЭСМ-4. При расчетах рассматривалось влияние возможных в этих условиях элементарных химических реакций.

Брутто-реакция дегидрирования изопентана описывается уравнениями

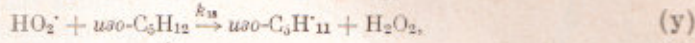
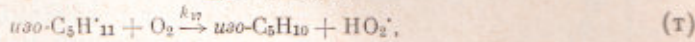
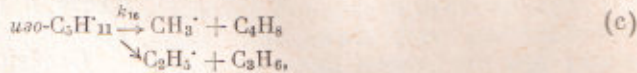
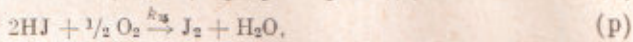
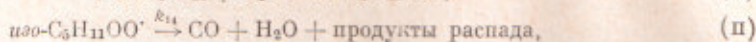
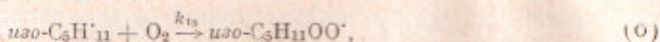


Для расчетов использован следующий механизм



Кроме того, были учтены реакции глубокого окисления изопентана (2), распада алкильного радикала, окисления иодистого водорода и гомогенного

окислительного дегидрирования (6)



Приведенная система реакций определяет систему дифференциальных уравнений

$$dc_i / d\tau = f_i, \quad i = 1, 2 \dots n \quad (1)$$

здесь c_i ($i = 1, 2 \dots n$) — полный перечень веществ, участвующих в реакциях.

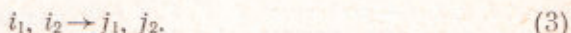
Правые части f_i определяются принятой системой реакций. Рассматриваемые реакции бывают двух типов:

1) Линейные реакции (распад одного вещества)



где число компонент, на которое распадается i_1 , может быть и меньше четырех.

2) Квадратичные реакции



Каждая реакция дает слагаемое в правые части дифференциальных уравнений для всех веществ (исходных и конечных). При этом слагаемые

Таблица 1

Значения констант скорости реакции (л/моль·сек)

Константа	$\lg A$	E , ккал/моль	Константа	$\lg A$	E , ккал/моль
k_0	15,65	35,5	k_8'	10,7	7,0
k_0'	12,231	0	k_9	12	33,0
k_1	10,88	21,4	k_9'	6,6	11,5
k_1'	9,0	1,6	k_{10}	9,8	0
k_2	9,0	0,5	k_{11}	9,1	0
k_2'	10,7	13,0	k_{11}'	7,8	28,4
k_3	12,5	36,0	k_{12}	9,0	0
k_3'	6,6	18,0	k_{13}	7,8	0
k_4	9,75	0	k_{14}	13,0	20,0
k_5	9,05	0	k_{15}	11,2	26,6
k_5'	7,7	31,2	k_{16}	15,0	37,0
k_6	9,2	0	k_{17}	9,0	2,2
k_7	10,8	13,4	k_{18}	8,0	6,0
k_7'	10,0	2,0	k_{19}	10,0	0
k_8	9,0	0			

для исходных веществ являются отрицательными, для конечных — положительными.

Реакция (2) вносит в f_{i_1} слагаемые $-k_i c_i$, а в $f_{j_{1,2,3,4}}$ слагаемое $+k_l c_i m_l$; $j_{1,2,3,4}$. Реакция (3) вносит в $f_{i_{1,2}}$ слагаемое $-k_l c_{i_1} c_{i_2} m_l$, а в $f_{j_{1,2}} + k_l c_{i_1} c_{i_2} m_l$; $j_{1,2}$.

Здесь l — номер реакции, m_l ; $j_{1,2,3,4}$ — стехиометрический коэффициент.

Кинетические константы k_l ($l=1, 2 \dots n$) взяты из литературных источников (⁴, ⁶⁻¹¹) с соответствующей корректировкой (см. табл. 1). Поскольку расчеты велись при большом постоянном разбавлении, общее число молей реагирующих веществ в реакции можно считать практически постоянным.

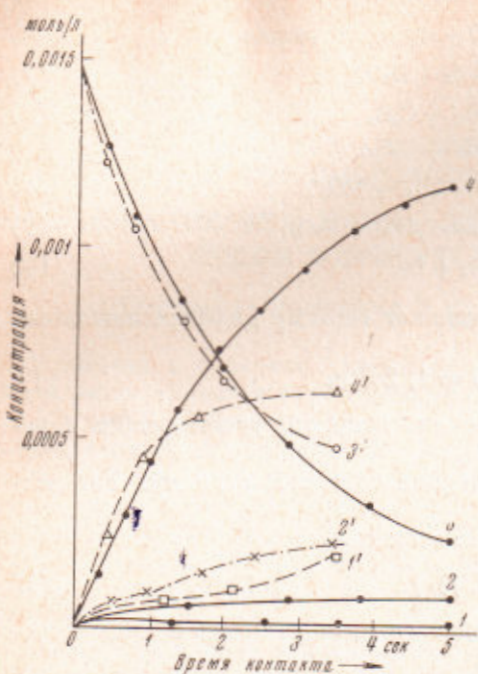


Рис. 1. 1, 2, 3, 4 — расчетные, 1', 2', 3', 4' — экспериментальные кривые. 1 — концентрация изопентанов, 2 — концентрация побочных продуктов ($\text{CO}, \text{C}_1 - \text{C}_4$), 3 — концентрация изопентана, 4 — концентрация изопрена. Температура 500°; мольное соотношение иод: кислород: пары воды: изопентан = 0,11 : 1,05 : 7,8 : 1

что шаг для квазистационарного состояния. Это позволило считать вариант за 10—20 мин.

Расчеты показали, что для дегидрирования изопентана иодом без кислорода в интервале температур 450—550° применим механизм Бенсона, дополненный реакцией (с) распада алкильного радикала. В присутствии кислорода совпадение расчетных данных с экспериментальными имеет место при учете реакций глубокого окисления, окислительного дегидрирования и дальнейших превращений радикала HO_2^{\cdot} (см. рис. 1). При этом реакциями рекомбинации и диспропорционирования радикалов (д) — (ж) и (л) — (н) можно пренебречь.

Совпадение расчетных и экспериментальных данных наблюдается для конверсии изопентана и восходящей ветви кривой накопления изопрена. Затем экспериментальная кривая накопления изопрена проходит через максимум, что свидетельствует о расходовании изопрена. Анализ наших экспериментальных данных позволяет объяснить перелом на кривой накопления изопрена частичной его полимеризацией с образованием смоловобразных продуктов уплотнения (см. табл. 2), при этом наблюдается перераспределение водорода с образованием изопентенов. Этим можно объяснить возрастание экспериментального значения выхода изопентенов во времени, в отличие от теоретической кривой накопления изопентенов, которая проходит через пологий максимум (см. рис. 1).

Проведенное исследование показало, что для описания механизма высокотемпературного дегидрирования изопентана иодом в присутствии кисло-

дифференциальных уравнений (1) является резко различный масштаб кинетических коэффициентов. Для свободных радикалов они значительно больше, чем для устойчивых веществ. Подобные задачи в настоящее время привлекают внимание исследователей. В частности, один из методов решения предложен в работе (¹²).

Нами эти уравнения решались конечно разностными методами. При таких методах шаг дифференциального уравнения определяется самыми большими коэффициентами. Однако для дифференциальных уравнений (1) соотношение участников в реакции промежуточных веществ сначала быстро меняется, после чего очень скоро наступает квазистационарное состояние, при котором скорость превращения веществ определяется малыми константами. При решении таких уравнений наиболее устойчивым и быстрым методом оказался метод обратного шага (¹³) с изменением шага по заданной программе, так

рода необходимо учесть элементарные реакции дегидрирования подом гомогенного окислительного дегидрирования, распада и глубокого окисления. Полное описание процесса требует также учета реакций уплотнения изопрена и перераспределения водорода.

Таким образом, показано, что механизм Бенсона недостаточен и должен быть дополнен указанными выше реакциями. При сопоставлении этого механизма с экспериментальными данными видно, что при разум-

Таблица 2

Превращение изопрена и изопентенов.

Объемная скорость подачи сырья 0,22 час⁻¹; длительность контакта 1,2—1,3 сек.; соотношение водяные пары: сырье (7,44-8) : 1 (моль/моль)

	№ 221	№ 177	№ 176	№ 222
Сырье	Изопрен	Изопрен	Изопрен	Изопентены
Температура, °С	500	500	600	050
Иодистый водород: сырье (моль/моль)	0,54	0,0	0,0	0,56
Иод: сырье (моль/моль)	0,0	0,052	0,052	0,0
Кислород *: сырье (моль/моль)	0,0	0,5	0,5	0,0
Глубина превращения, %	52,0	34,4	55,6	1,65
Выход в расчете на взятое сырье, %				
изопрен	48,0 **	65,6 **	44,4 **	0,4
изопентены	34,3	10,8	25,7	98,35 ***
изопентан	0,35	0,18	0,94	0,5
цикlopентадиен	0,0	0,0	0,23	0,0
C ₁ —C ₄	0,6	0,66	2,24	0,72
CO ₂	0,0	0,20	0,19	0,0
продукты уплотнения	16,7	22,4	26,0	Следы

* В концентрированном виде.

** Непривращенный изопрен.

*** Непривращенные изопентены.

ном подборе констант механизм достаточно удовлетворительно описывает начальный участок экспериментальной кривой. Для более детальной проверки принятой схемы необходимо провести сопоставление при разных температурах и соотношениях реагентов. Такая задача в настоящее время решается.

В разработке вычислительных алгоритмов принимали участие А. С. Кронрод и И. А. Фараджев, за что авторы выражают им глубокую благодарность.

Московский институт нефтехимической
и газовой промышленности им. И. М. Губкина

Поступило
12 VIII 1969

ЦИТИРОВАННАЯ ЛИТЕРАТУРА

- ¹ Hiroshi Teranishi, S. W. Benson, J. Am. Chem. Soc., **85**, 19, 2887 (1963).
- ² J. H. Raley, R. D. Mullineaux, C. W. Bittner, J. Am. Chem. Soc., **85**, 20, 3174 (1963). ³ Е. Е. Чехов, А. Л. Цайлингольд, И. И. Иоффе, Нефтехимия, **7**, 5, 717 (1967). ⁴ И. И. Иоффе, Е. Е. Чехов и др., Нефтехимия, **8**, 2, 243 (1968).
- ⁵ С. В. Адельсон, В. И. Никонов, Хим. пром., № 8, 572 (1966). ⁶ J. H. Knox, Combustion and Flame, **9**, 297 (1965). ⁷ J. H. Knox, C. H. J. Wells, Trans. Farad. Soc., **59**, 2786, 2801 (1963). ⁸ D. M. Golden, R. Walsh, S. W. Benson, J. Am. Chem. Soc., **87**, 18, 4053 (1965). ⁹ P. S. Nangia, S. W. Benson, J. Am. Chem. Soc., **86**, 8, 2773 (1964). ¹⁰ A. S. Rodgers, D. M. Golden, S. W. Benson, J. Am. Chem. Soc., **88**, 14, 3196 (1966). ¹¹ S. W. Benson, A. N. Bose, J. Chem. Phys., **39**, 13, 3463 (1963). ¹² Ф. А. Бухман, В. Г. Меламед и др., ДАН, **177**, № 4, 876 (1967). ¹³ В. Э. Милин, Численное решение дифференциальных уравнений, ИЛ, 1955.